

Polarforschung 81 (2), 156 – 157, 2011 (erschienen 2012)

ERRATUM

Erratum zu:

Böden in Permafrostgebieten der Arktis als Kohlenstoffsенke und Kohlenstoffquelle

Zubrzycki, S., Kutzbach, L. & Pfeiffer, E.-M.,

Polarforschung 81 (1): 33-46, 2011 (erschienen 2012);

online unter: www.Polarforschung.de oder <http://hdl.handle.net/10013/epic.39227>

Auf Grund eines technischen Versehens ist Tabelle 1 auf Seite 39 fehlerhaft. Die korrekte Tabelle lautet wie folgt:

Beprobungstiefe AUTOREN	C _{org} -Pool kg m ⁻² (min)	C _{org} -Pool kg m ⁻² (max)	Masse SOC Pg	Untersuchungsgebiet wie in den Publikationen
Tiefe 0-30 cm STOLBOVOI 2002 TARNOCAI et al. 2009 HUGELIUS et al. 2010 ZUBRZYCKI et al. 2012	11,6 4,0	13,3 16,3 24,0	62 191	Russland nördliche Permafrostregionen Küste des Tulemalu Lake, zentrale kanadische Arktis Nord-Süd-Transekt (73,5°- 69,5° N) entlang der Lena, Sibirien
Tiefe des Auftaubodens OECHEL & BILLINGS 1992 TARNOCAI & BALLARD 1994 ORLOV et al. 1996 NADELHOFFER et al. 1997 GUNDELWEIN et al. 2007	13,0 21,7	29,0 26,2 14,5 20,3 14,5	55 59	Tundra Kanadische Arktis / Subarktis Russland Alaska Labaz-See, Taimyr-Halbinsel
Tiefe 0-100 cm POST et al. 1982 TARNOCAI & SMITH 1992 MATSUURA & YEFREMOV 1995 ROZHKOV et al. 1996 PING et al. 1997 STOLBOVOI 2002 TARNOCAI et al. 2003 POST 2006 GUNDELWEIN et al. 2007 PING et al. 2008 TARNOCAI et al. 2009 HUGELIUS et al. 2010 BLISS & MAURSETTER 2010 PING et al. 2010	4,0 11,0 31,4 16,6 25,6 22,6 12,6	21,8 63,0 20,0 69,2 26,9 59,2 14,2 30,7 34,8 66,6 33,8 54,5 50,9	192 116 107 268 98 496 38	Tundra Kanada Russland Tundra und nördliche Taiga Russlands Tundra Alaskas Russland nördliche Permafrostregionen Tundra Labaz-See, Taimyr-Halbinsel Nordamerikanische Arktis nördliche Permafrostregionen Küste des Tulemalu Lake, zentrale kanadische Arktis die Gelsol Alaskas Diskontinuierlicher, warmer Permafrost, boreale Wälder Alaskas
Tiefe 0-300 cm TARNOCAI et al. 2009	159,2	358,2	1024	nördliche Permafrostregionen
Tiefe größer als 300 cm TARNOCAI et al. 2009		65,0	241	arktische Deltas
AUTOREN	C _{org} (min) Gew.-%	C _{org} (max) Gew.-%	Masse SOC Pg	Untersuchungsgebiet wie in den Publikationen
ZIMOV et al. 2006b TARNOCAI et al. 2009 SCHIRRMESTER et al. 2011	1	2,38 2,6 17	450 407 250 - 375	Yedoma-Landschaften in Nordsibirien Yedoma-Landschaften in Nordsibirien 20 Küstenaufschlüsse in Nordostsibirien

Tab. 1: Tab. 1: Eine Übersicht von Kohlenstoff-Studien in unterschiedlichen Permafrostregionen. Dargestellt sind Teilergebnisse der genannten Studien zu Permafrost beeinflussten Böden. Diese Liste zeigt nur einige Beispiele und erhebt keinen Anspruch auf Vollständigkeit. SOC = Boden eigener organischer Kohlenstoff.

Tab. 1: Overview of carbon studies from different permafrost regions. Only results related to the permafrost-affected soils are presented. This list shows only some examples and is not intended to be exhaustive. SOC = soil organic carbon.

Auf Grund eines Versehens ist die Bilderläuterung zu Abb. 1 auf Seite 34 fehlerhaft. Die Abbildung mit der korrekten Bilderläuterung lautet wie folgt:

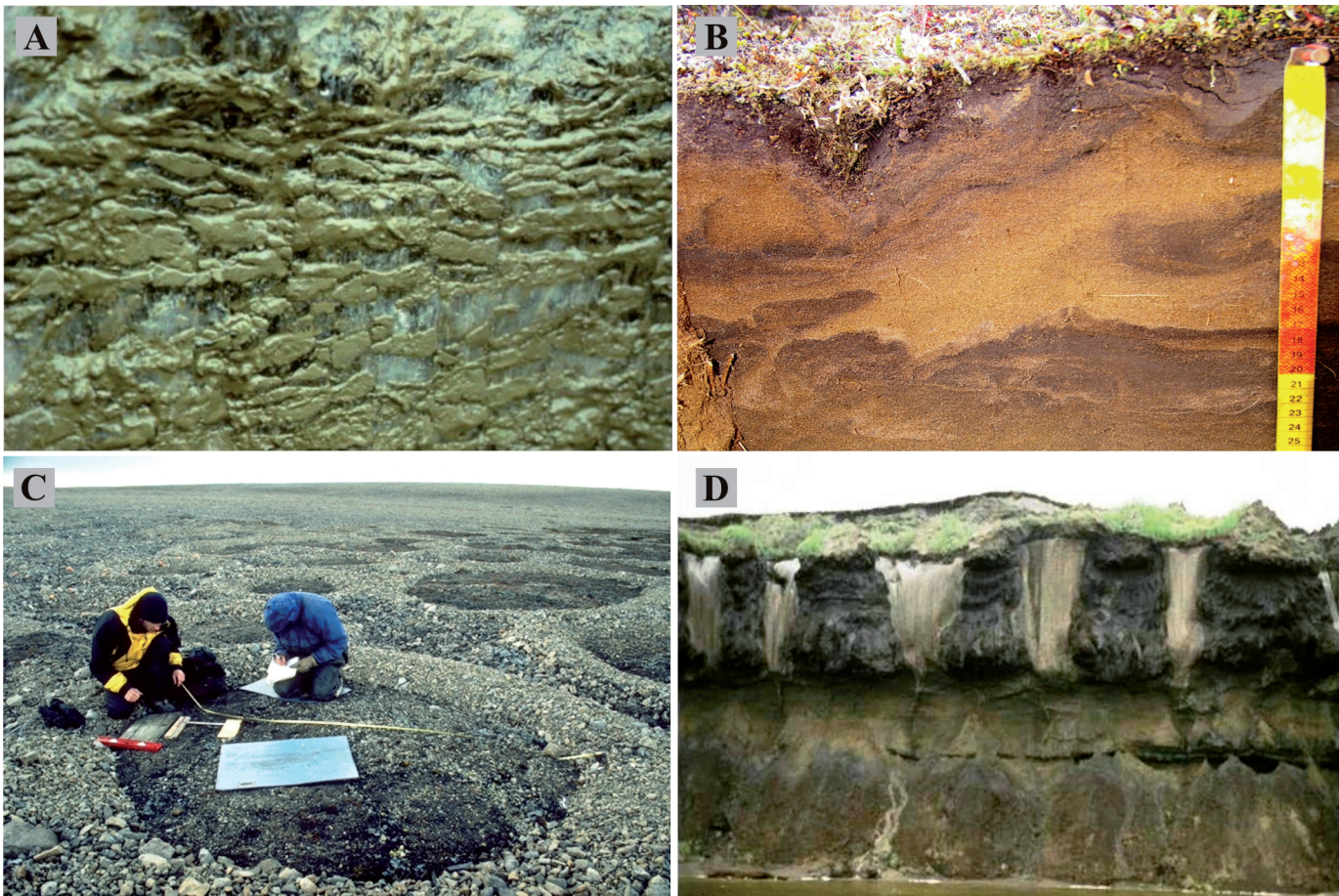


Fig. 1: Ergebnisse kryopedogener Prozesse im Permafrost. A = Segregationseis, Lena-Delta, Sibirien 2007. B = Kryoturbation im Oberboden eines Gelisols (Typic Psammenturbel), Arga-Komplex, nordwestliches Lena-Delta, Sibirien 2009. C = Sortierte Kreise als eine Form von Frostmustern, die durch Frostsorierung entstehen, Brøggerhalbinsel, Spitzbergen, 1999. D = Eiskeile, aufgeschlossen an einem Kliff im Olenyokskaya Kanal, Lena-Delta, Sibirien 2007. Aufnahmen: Fotos: A, B, D = Bilder der Autoren; C = Julia Boike.

Fig. 1: Results of cryopedogenic processes in permafrost. A = Segregated ice, Lena River Delta, Siberia 2007. B = Cryoturbation in the top soil of a Gelisol (Typic Psammenturbel), Arga Complex, northwestern Lena River Delta, Siberia 2009. C = Sorted circles (frost patterns) formed by frost sorting, Brøgger Peninsula, Spitzbergen, 1999. D = Ice wedges, cliff exposure at the Olenyokskaya Channel, Lena River Delta, Siberia 2007. Photos: A, B, D = authors, C = Julia Boike.